

# 鉄筋コンクリート多主桁橋の変形および破壊特性

北大工学部 正員 藤田嘉夫  
 " " 佐伯昇  
 " " 高田宣元  
 " " 奈良久

## 1. まえがき

鉄筋コンクリート多主桁橋は曲げとねじりが同時に作用する構造体であり、この変形および破壊挙動にはねじりの影響を受けていることが予想される。曲げとねじりを受ける破壊挙動の解析には、従来のコンクリートの圧縮強度あるいは鉄筋の引張強度による1軸応力破壊形式に対し、さらに曲げとねじりによる2軸応力場によるコンクリートの破壊形式も考えなくてはならない。すなわちこの多主桁構造ではある荷重レベルで曲げひびわれが発生し、初期の段階では曲げ剛性、ねじり剛性の低下はあまりなく、ねじりによる応力は破壊に対してほとんど影響をおよぼさない。さらに曲げひびわれが進展し、破壊に近くなり圧縮ゾーンが減少するとともに、ねじりによるせん断応力が顕著になり、曲げ応力との2軸応力状態となり斜引張応力破壊状況になる。一般に鉄筋比が小さければ圧縮部コンクリートの直応力はねじりによるせん断応力の増加に比して大きく、これまでと同じように曲げ破壊形式を取ると考えられる。又、弹性から破壊に移行する State I から State II の状態の変形および荷重分担性状については格子桁法によつて解析を行なう。この方法は有効巾を考えて床版を橋軸に直角方向に strip に分割して、格子桁の構造形式で解析するものである。これら鉄筋コンクリート多主桁橋の変形および破壊を検討するため、多主桁橋のモデル試験を行なって解析との照合を行なつていい。

## 2. 実験方法

モデル試験はモルタルで作製し、その材料は普通ポルトランドセメント、錦岡砂（比重2.77、単位容積重量1952 kg/m<sup>3</sup>、吸水量1.12%）を用いた。配合は水セメント比0.5、砂セメント比2である。脱型後から試験日の数日前まで20°Cの水槽中で養生した。モデル析の寸法は図-1に示すように幅員75cm、高さ20cmでスパン3.1mの3主桁である。主鉄筋の種類は2#10, 2#13, 2#16の3種で、スターラップは中10で10cmピッチで配筋した。載荷方法は油圧ジャッキで加力し、ロードセルで荷重を測定した。載荷位置はスパン中央で中桁、外桁、外桁の順に載荷し、漸次荷重を增加了した。低い荷重段階で張出し部にも載荷し、破壊は外桁で行なつた。写真1は実験状況を示したもので変形は変位換算器（ひずみゲージ式）を用い、スパン中央および $\frac{1}{4}$ 点、 $\frac{3}{4}$ 点の主桁中央で計9点測定した。主鉄筋ひずみはスパン中央で主鉄筋のみぶりのコンクリートを除いて各主鉄筋に20mmペーパーゲージを用いて測定した。床版上のコンクリートのひずみはスパン中央より20cm離れた各主桁中心の位置に、橋軸方向および直角方向に70mmゲージをはり測定した。主軸のひびわれを測定するため主鉄筋位置に4cm間隔にスパン中央の1mの範囲にコンタクトゲージのポイントをはんだ。φ10cm、高さ20cmの円柱供試体を各実験析につき3~4本作り、モルタルの圧縮強度、ヤング率、ポアソン比および計算によりせん断弾性係数を求めた。表-1にその平均値を示す。鉄筋はSD35を用

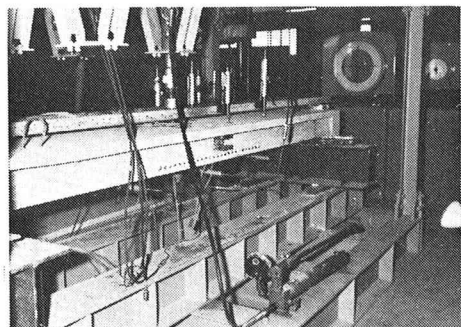


写真1 実験状況

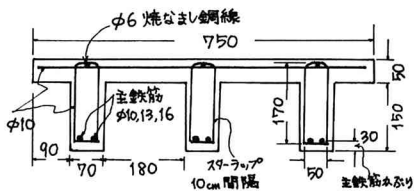


図-1 実験断面

い、D10 は  $A_s = 0.7174 \text{ cm}^2$ ,  $\sigma_{sy} = 3623 \text{ kg/cm}^2$ ,  $\sigma_{sb} = 5362 \text{ kg/cm}^2$ , D13 は  $A_s = 1.224 \text{ cm}^2$ ,  $\sigma_{sy} = 4084 \text{ kg/cm}^2$ ,  $\sigma_{sb} = 5747 \text{ kg/cm}^2$ , D16 は  $A_s = 1.899 \text{ cm}^2$ ,  $\sigma_{sy} = 3785 \text{ kg/cm}^2$ ,  $\sigma_{sb} = 5522 \text{ kg/cm}^2$  であった。

実験桁は 6 本行ない各 2 本づつ鉄筋比の同じものである。載荷は曲げひびわれ発生前では 0.2 ティビに荷重を増加し、ひびわれ発生後は 0.5 ティビである。表-1 の  $P_b$  は外桁が破壊した荷重でモルタルの残余は 1/2 週から 3/2 週である。

### 3. 3 主桁の変形および荷重分担の解析

図-2 に示すように床版を strip にわけて主桁の曲げおよびねじり変形を考えて接角法を用いてスライドの曲げモーメントを求め、主桁の断面力および変形を解析する。主桁 1, 2, 3 の 3 点のねじり角を  $\theta_r^1, \theta_r^2, \theta_r^3$  とすると

$$\left. \begin{aligned} \theta_r^1 &= -\sum (M^0 + M'_r - V'^t) \theta \\ \theta_r^2 &= -\sum (M^1 + M^2 + V'^t - V^2 t) \theta \\ \theta_r^3 &= -\sum (M^2 - M^0 + V^2 t) \theta \end{aligned} \right\} \cdots \cdots (1)$$

主桁 1, 2, 3 のたわみを  $\delta_r^1, \delta_r^2, \delta_r^3$  とすると

$$\left. \begin{aligned} \delta_r^1 &= \sum V'^t \delta \\ \delta_r^2 &= \sum (V^1 + V^2) \delta \\ \delta_r^3 &= \sum V^2 t \delta \end{aligned} \right\} \cdots \cdots (2)$$

ここで  $\theta, \delta$  はねじり角およびたわみの影響線マトリックスである。せん断力とモーメントの釣合式は

$$\left. \begin{aligned} V^1 &= -\frac{1}{\lambda} (M^1 + M'^1) + V^{10} \\ V'^1 &= \frac{1}{\lambda} (M^1 + M'^1) + V^{10} \\ V^2 &= -\frac{1}{\lambda} (M^2 + M'^2) \\ V'^2 &= \frac{1}{\lambda} (M^2 + M'^2) \end{aligned} \right\} \cdots \cdots (3)$$

ここで  $V^{10}, V'^{10}$  は荷重項によるものである。接角式を用いて

$$\left. \begin{aligned} M^1 &= 2\varphi^1 + \varphi^1' - \mu^1 - C_1 \\ M'^1 &= 2\varphi^1 + \varphi^1' - \mu^1 + C_1' \\ M^2 &= 2\varphi^2 + \varphi^2' - \mu^2 - C_2 \\ M'^2 &= 2\varphi^2 + \varphi^2' - \mu^2 + C_2' \end{aligned} \right\} \cdots \cdots (4)$$

$$\begin{aligned} \mu^1 &= \alpha (\delta_r^2 - \delta_r^1), \quad \mu^2 = \alpha (\delta_r^3 - \delta_r^2) \\ \varphi^1 &= \beta \theta_r^1, \quad \varphi^1' = \beta \theta_r^2, \quad \varphi^2 = \beta \theta_r^2, \quad \varphi^2' = \beta \theta_r^3 \\ \alpha &= 6EI_0 / x^2, \quad \beta = 2EI_0 / \lambda \end{aligned}$$

(4) 式を用いて  $M$  についてまとめる

$$[A][M] = [P] \cdots \cdots (5)$$

ここで

$$[A] = \begin{pmatrix} a_1 & a_2 & a_3 & a_4 \\ a_2 & a_1 & a_4 & a_6 \\ a_6 & a_5 & a_1 & a_2 \\ a_4 & a_3 & a_2 & a_1 \end{pmatrix}, [M] = \begin{pmatrix} M^1 \\ M'^1 \\ M^2 \\ M'^2 \end{pmatrix}, [P] = \begin{pmatrix} P_1 \\ P_2 \\ P_3 \\ P_4 \end{pmatrix}$$

であり、

桁	主鉄筋	鉄筋比 %	$\bar{\sigma}_{cb}$ $\text{kg/cm}^2$	$E_c$ $\text{kg/cm}^2$	$G_c$ $\text{kg/cm}^2$	$P_b$ $\text{kg/cm}^2$	残余
No.1	2φ10	1.14	439	302	118	2.5	320
No.2	2φ10	1.14	359	219	92	2.5	105
No.3	2φ13	1.94	440	294	119	4.0	115
No.4	2φ13	1.94	357	245	110	4.0	100
No.5	2φ16	3.00	366	229	95	5.0	50
No.6	2φ16	3.00	309	242	102	5.5	60

表-1 実験桁 試験

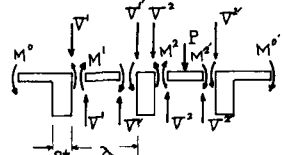
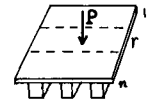


図-2 3主桁・断面力

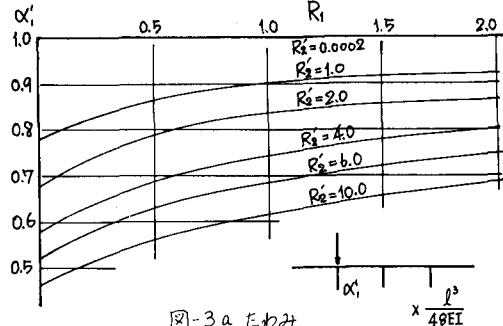


図-3a たわみ

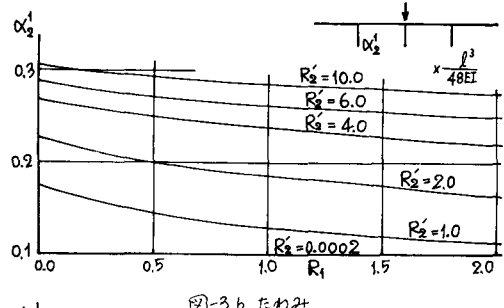


図-3b たわみ

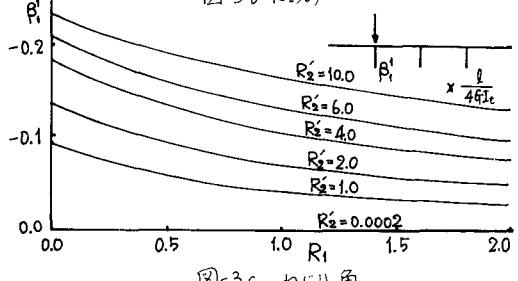


図-3c 角度

$$\alpha_1 = 1 + 2R_1\theta + 2R_2\delta + 3R_1 \frac{I}{K} \theta, \quad \alpha_2 = R_1\theta + 2R_2\delta + 3R_1 \frac{I}{K} \theta$$

$$\alpha_3 = R_1\theta - R_2\delta + R_1 \frac{I}{K} \theta, \quad \alpha_4 = -R_2\delta + R_1 \frac{I}{K} \theta$$

$$\alpha_5 = 2R_1\theta - R_2\delta + 2R_1 \frac{I}{K} \theta, \quad \alpha_6 = -R_1\delta + 2R_1 \frac{I}{K} \theta$$

$$P_1 = -2R_1\theta M^o - R_2\lambda\delta (\nabla^{10'} - \nabla^{10}) - C_1 + R_1\lambda\theta (2\nabla^{10} - 2\nabla^{10'})$$

$$P_2 = -R_1\theta M^o - R_2\lambda\delta (\nabla^{10'} - \nabla^{10}) + C'_1 + R_1\lambda\theta (2\nabla^{10} - 2\nabla^{10'})$$

$$P_3 = R_1\theta M^o + (R_2\lambda\delta - 2R_1\lambda\theta) \nabla^{10'} - C_2$$

$$P_4 = 2R_1\theta M^o + (R_2\lambda\delta - R_1\lambda\theta) \nabla^{10'} + C'_2$$

$$R_1 = \frac{2E}{G} \cdot \frac{I}{K} \cdot \frac{I_o}{I_o}, \quad R_2 = \frac{I_o}{I} \cdot \frac{I^3}{K^3}$$

は定数である。

$I_o$  は有効巾当りの床版の断面2次モーメントである。

図-3 a,b は  $\lambda \ll 1$  の場合で  $R_2' = 2R_2$  をパラメータとしたもの、図-3c ではねじり角を表示した。図-4に示した実験析の変形を見ると  $P = 0.4$  ～  $2t$  の間で変形性状が顕著に変化している。これは曲げひびわれによる断面剛性の低下が始まり、State I から State II に移行する過程が表われた結果である。State I の状態での理論解が実験値より小さく表され、State II での理論解が実験値より大きな値にはならないから、断面剛性は破壊荷重の2割程度で低下し曲げひびわれの進行に従って漸次減少していくことを示す。2つの理論解が変形の下限と上限を抑えていることがわかる。図-5a,b,c は各々主鉄筋が 2φ10, 2φ13, 2φ16 の時で各荷重段階における主鉄筋ひずみからその荷重分担性状を求めたもので、破壊の近くまでほぼ定常状態にあり、State II で計算した分担性状は破壊荷重の 0.8 ～ 0.9 の破壊近傍にはほぼ対応している。曲げひびわれが発生前の分担性状の実験は荷重が小さいところもあって安定して結果は得られなかったが、この分担性状は全断面有効のねじり剛度の2～3倍の剛度をもつ桁の性状に相当し、各主桁に均等に分担しようとする性状を強く示した。析の最大ひびわれ幅  $w_{max}$  は破壊荷重の 0.8 程度 0.140 ～ 0.170 mm 程度に成長していた。

#### 4. 曲げとねじりを受ける析の破壊荷重の解析

コンクリート多主桁橋では床版によつて曲げモーメントとせん断力が伝達されるため、析には曲げとねじりが同時に働くことになるが、このねじり荷重は曲げ荷重に比して小さく、低荷重状態では応力的にはあまり問題はない。しかし曲げひびわれが発達し、破壊近傍ではこのねじりによるせん断力が大きさ影響をおよぼすことが考えられる。このでは曲げひびわれ状態を主体に考えて、コンクリート圧縮部が減少した状態での曲げとねじりによる破壊挙動<sup>(1)</sup>を考える。図-6a に示すようにコンクリートの2軸応力場と引張一引張状態では  $\sigma_c$  にはほぼ一致し、圧縮一圧縮では円弧をなし、圧縮一引張では  $\sigma_c$ ,  $\sigma_t$  を結ぶほぼ直線となる。この部分を式で表示すると

$$\sigma_c/\sigma_c + \sigma_t/\sigma_t = 1 \quad \dots \dots (b) \quad \sigma_c, \sigma_t \text{ はコンクリートの圧縮および引張強度}$$

となる。曲げとねじりを受ける析では図-6b に示すように直応力  $\sigma_c$  とせん断力でか圧縮ゾーンに作用している。

$$\sigma_1 = \frac{\sigma}{2} \left( \sqrt{1 + \left( \frac{2\tau}{\sigma} \right)^2} - 1 \right), \quad \sigma_2 = \frac{\sigma}{2} \left( \sqrt{1 + \left( \frac{2\tau}{\sigma} \right)^2} + 1 \right) \quad \dots \dots (7)$$

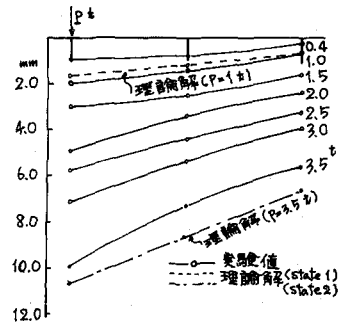


図-4 実験析 (No.4) の変形

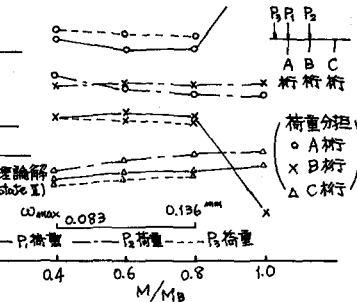


図-5a 荷重分担 (No.1)

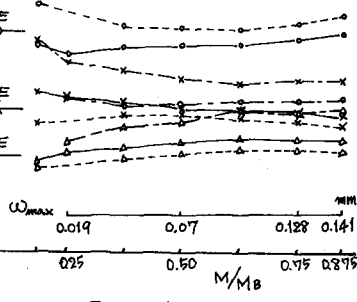


図-5b 荷重分担 (No.3)

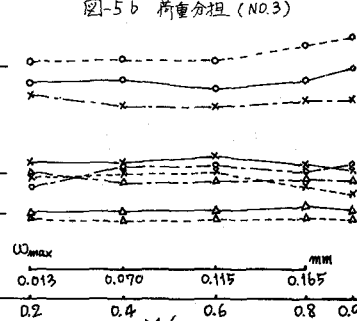


図-5c 荷重分担 (No.5)

$\theta_1$  は引張応力,  $\theta_2$  は圧縮応力である。 (6) 式に代入すると

$$\frac{M}{M_0} \approx \frac{2K\{(1+r)\sqrt{k^2+1} + K(r-1)\}}{(1+r)^2 + 4rk^2} \quad \dots \dots (8)$$

$= \Rightarrow 2T/G = \omega\phi, \phi = T/M, r = G_c/G_s, K = 1/\omega\phi$  であり。  
 $\theta_1/\theta_2 \approx M/M_0$  と仮定していこう。

$M_0$  は曲げ荷重のみによる破壊曲げモーメント,  $M$  は曲げとねじりを含めた

時の破壊曲げモーメントである。 $\omega\phi$  を求める場合、曲げ破壊を主体に考えた時の  
破壊の状態を図-7 のように考えろ。曲げモーメントと  $\theta_1$  の関係は

$$M = \alpha_2 k b d^2 \theta \quad \dots \dots (9)$$

ねじり荷重は圧縮部コンクリート ( $T_c$ ) とスターラップ ( $T_s$ ) によって受けもつと考え

$$T_c + T_s = (I_{tc} + I_{ts}) G \theta' \quad \dots \dots (10)$$

$$I_{tc} = \frac{1}{3} \alpha_1 (kd)^3 b \quad \dots \dots (11)$$

$I_{ts}$  は Cowan<sup>(2)</sup> が矩形断面における求めた剛度を用いると

$$I_{ts} = \frac{E_s}{G_c} \cdot \frac{b_s^2}{s} ds A_w \quad \dots \dots (12)$$

圧縮部上面の中点でのせん断応力および曲げ応力が最大となり、 $T_c = \frac{1}{3} \alpha_2 (kd)^2 b T$

から  $T = \frac{3 \alpha_3}{\alpha_2 (kd)^2 b} T_c \quad \dots \dots (13)$

$\Rightarrow \alpha_3 = I_{tc}/(I_{tc} + I_{ts})$ ,  $\alpha_2$  は矩形断面での最大せん断応力の係数、 $\alpha_1$  は表-2 の値である。(9), (13) 式を用いて入力は  $\alpha_2$  を整理し、 $\alpha_2 = 0.8$ ,

$$\beta = 0.412 \text{ とおくと } \alpha_3 = \frac{2\alpha_3 \beta}{\alpha_2(1-\beta)} \quad \dots \dots (14)$$

となる。図-8 のよは実験値の降伏直前の主鉄筋ひずみと、コンクリート底版の圧縮ひずみから求めたものである。(8) 式を用いて  $\beta$  もパラメータとして  $M/M_0$  を求めると図-9 の曲線になる。State II の状態で外軸の中を計算すると No. 1, 2 軒, No. 3, 4 軒, No. 5, 6 軒で各々 0.110, 0.103, 0.095 である。K を求め、荷重分担の影響を除いたプロットすると図-9 のようになる。実験値はほぼ理論値に対応している。(A) は State II の状態の荷重分担で外軸が曲げ破壊する荷重である。(B) は外軸の破壊荷重を用いた時のものである。

## 4. 結論

(1) 格子桁法によて多主軸のねじり、ねじり角、底版の曲げモーメントをパラメータ  $R_1, R_2$  によって容易に解析することができる。

(2) 多主軸の破壊荷重の割別附近で変形性状が変わり始め  $\Rightarrow$  State II を計算した変形に近づく。

(3) State II を求めた荷重分担性状は破壊の近くの状態に対応している。

(4) 主鉄筋比が大きくなるほどねじりによる破壊の影響が強くなり、ほぼ理論解に対応している。

## 5. 文献

- (1) Torsion of Structural Concrete ACI Publication SP-18 P-403-
- (2) Henry J. Cowan.

"An elastic theory for the torsional strength of rectangular reinforced concrete beams."

Magazine of Concrete Research, Vol. 4, July 1950.

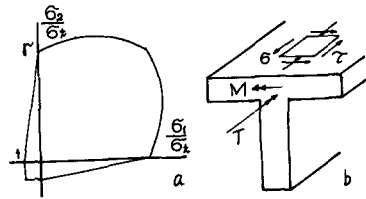


図-6 a, b 破壊曲線と 2 軸応力状態

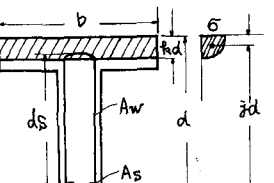


図-7 曲げ応力状態

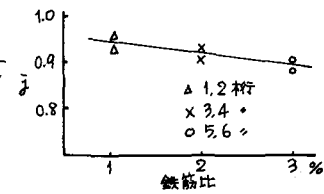


図-8 j の値

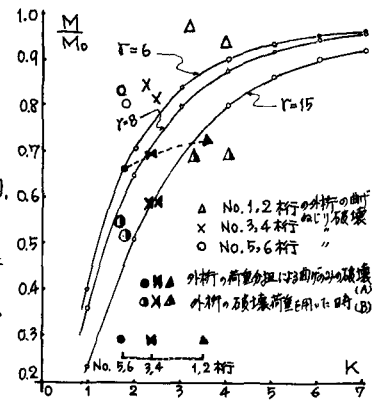


図-9 曲げねじり破壊曲線

$ds/ds_b$	5
1.0	0.564
1.4	0.658
1.8	0.725
2.5	0.799
3.0	0.832
5.0	0.900

表-2  $\beta$  の値